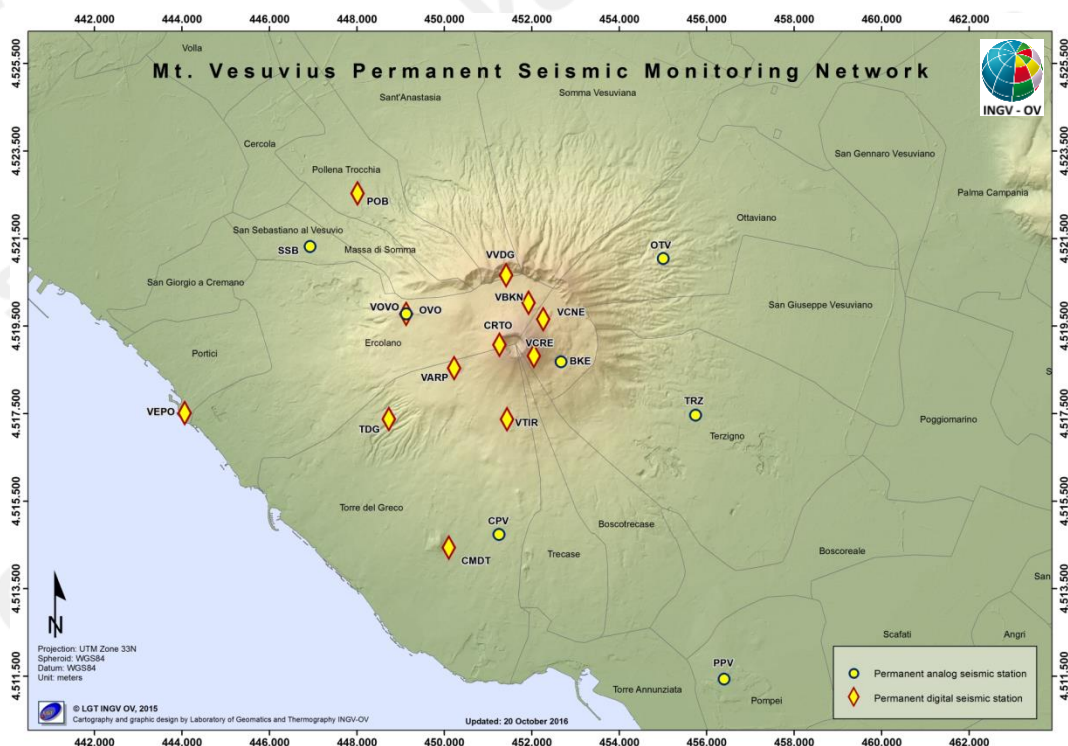




## 1. SISMOLOGIA

La Rete Sismica Permanente del Vesuvio è mostrata in Figura 1.1.



**Figura 1.1** - Mappa della Rete Sismica Permanente del Vesuvio.

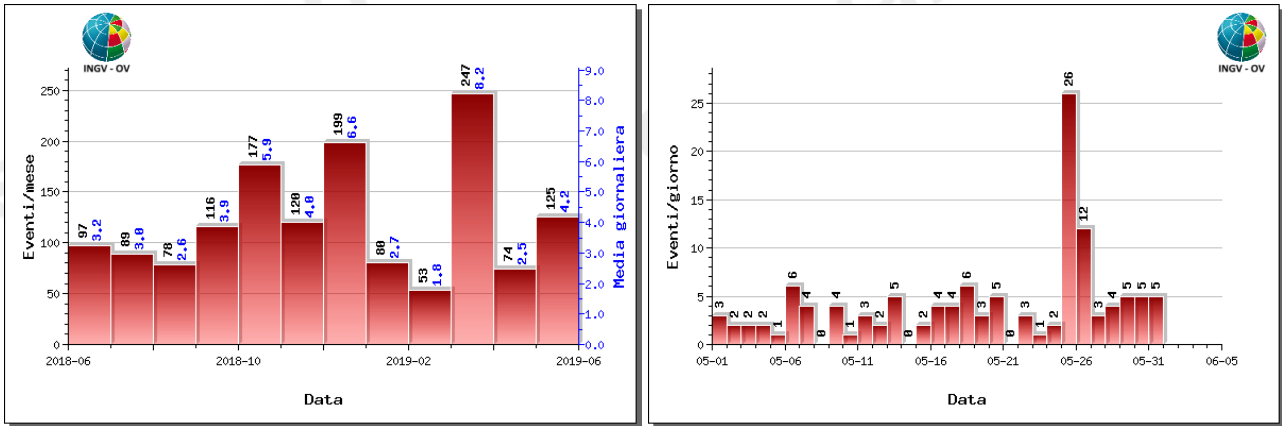
Nel corso del mese di maggio 2019, al Vesuvio, sono stati registrati 125 terremoti (Fig. 1.2). La magnitudo massima è stata pari a  $M_d=2.5$  (evento del 18/05 alle 21:11). È stato possibile determinare i parametri ipocentrali di 110 degli eventi registrati. Le localizzazioni sono mostrate in Fig. 1.3.

Tra le 18:35 e le 20:14 UTC del 25/05 è stato registrato uno sciame sismico consistito in una sequenza di 23 terremoti, con  $-1.2 \leq M_d \leq 1.0$ , localizzati in area craterica a profondità minori di 1 km.

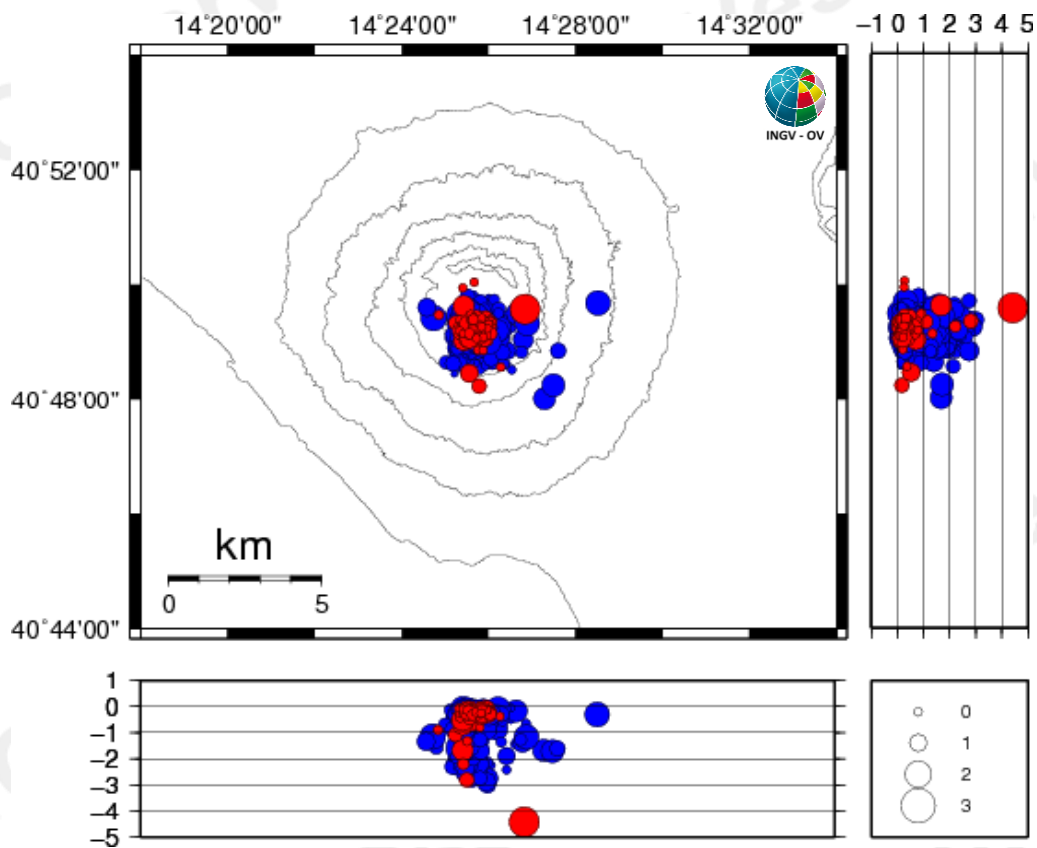
In Tabella 1.1 sono riportati i parametri ipocentrali dei terremoti di magnitudo  $\geq 2.0$  registrati al Vesuvio nel mese di maggio 2019.

In Tabella 1.2 è riportato il numero di eventi registrati suddivisi per classi di magnitudo e le relative percentuali.

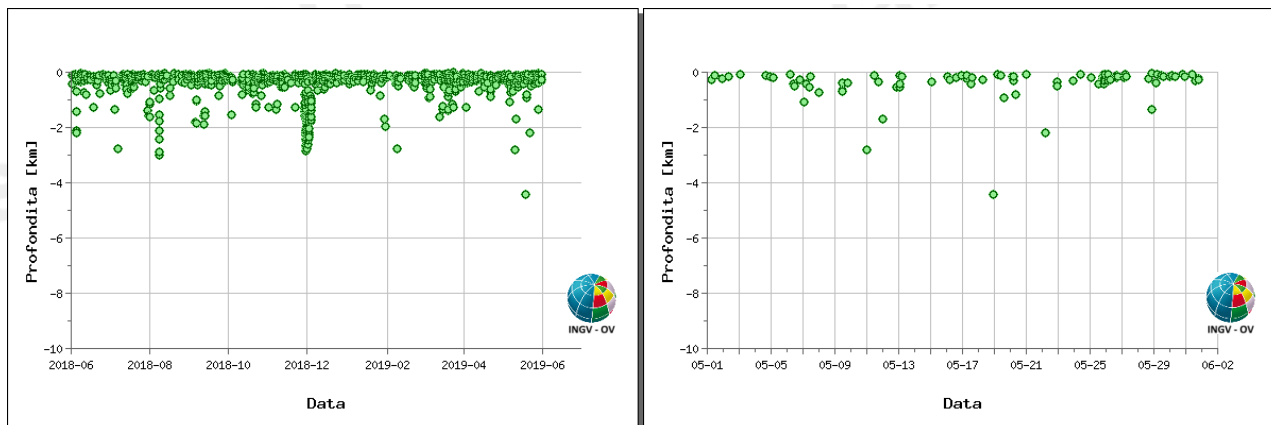
Non si evidenziano trend significativi nei parametri sismologici (Figg. 1.2-1.6).



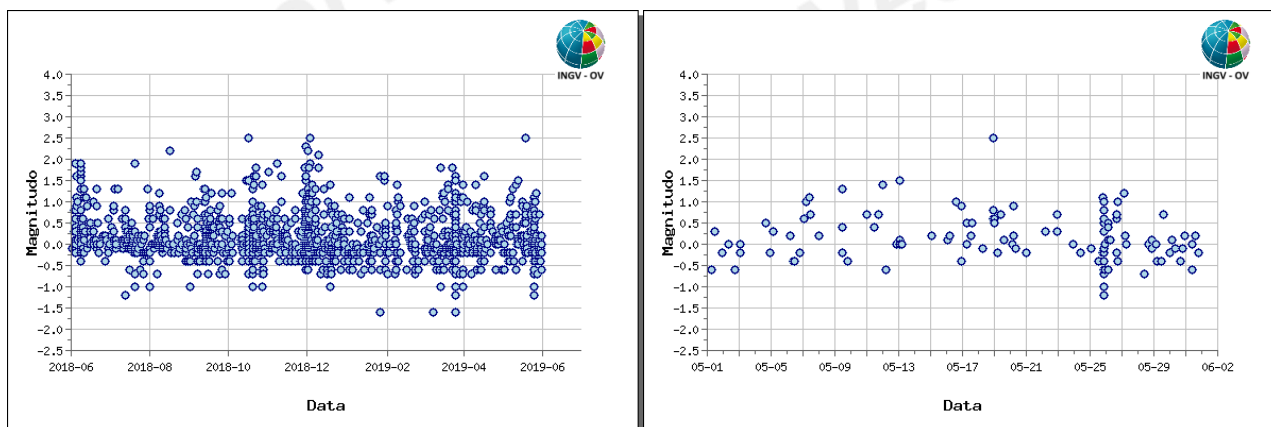
**Figura 1.2** - A sinistra il numero di eventi registrati al Vesuvio nel corso degli ultimi 12 mesi (in totale 1455), mentre a destra quelli avvenuti nell'ultimo mese (in totale 125).



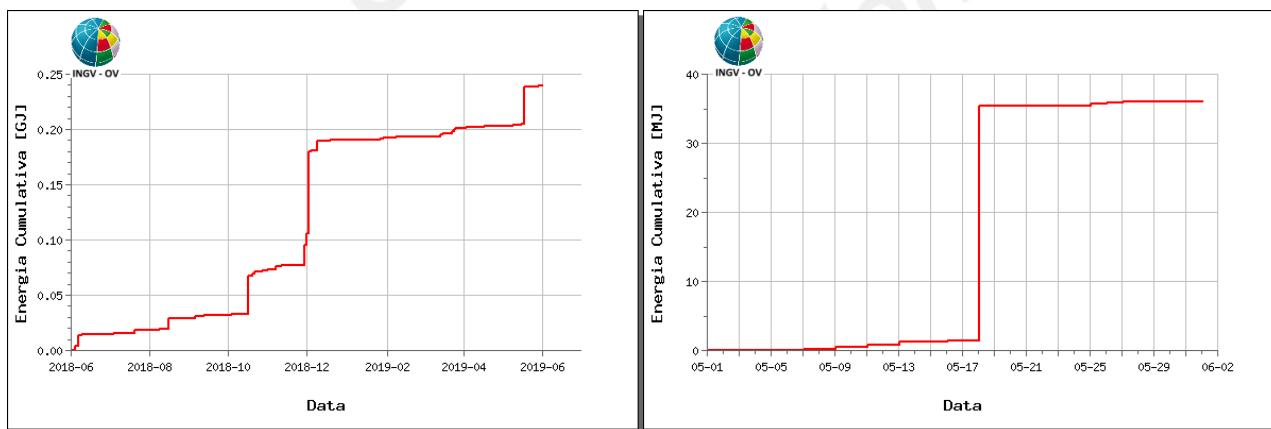
**Figura 1.3** - Localizzazioni ipocentrali al Vesuvio nel corso degli ultimi 12 mesi (in blu) e dell'ultimo mese (in rosso). La dimensione dei simboli è proporzionale alla magnitudo, come indicato nel riquadro in basso.



**Figura 1.4** - Profondità ipocentrali degli eventi registrati al Vesuvio nel corso degli ultimi 12 mesi (a sinistra) e dell'ultimo mese (a destra).

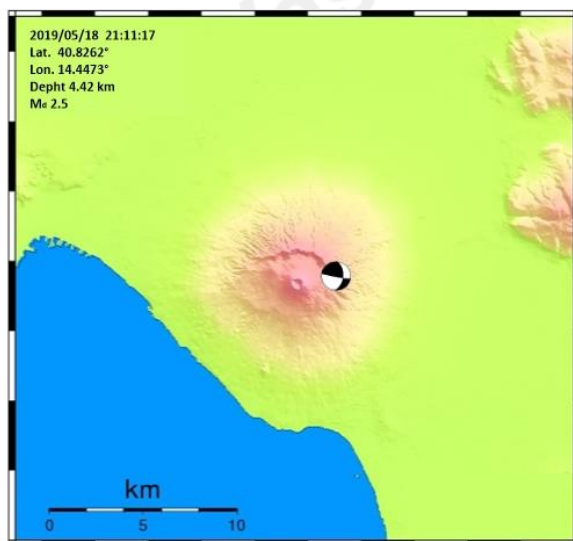


**Figura 1.5** - Magnitudo degli eventi registrati al Vesuvio nel corso degli ultimi 12 mesi (a sinistra) e dell'ultimo mese (a destra).



**Figura 1.6** - Rilascio cumulativo di energia sismica al Vesuvio nel corso degli ultimi 12 mesi (a sinistra) e dell'ultimo mese (a destra).

L'analisi del meccanismo focale dell'evento più energetico del mese di maggio 2019 (Tab. 1.1) mostra una soluzione associabile ad un meccanismo di tipo strike-slip (Fig. 1.7).

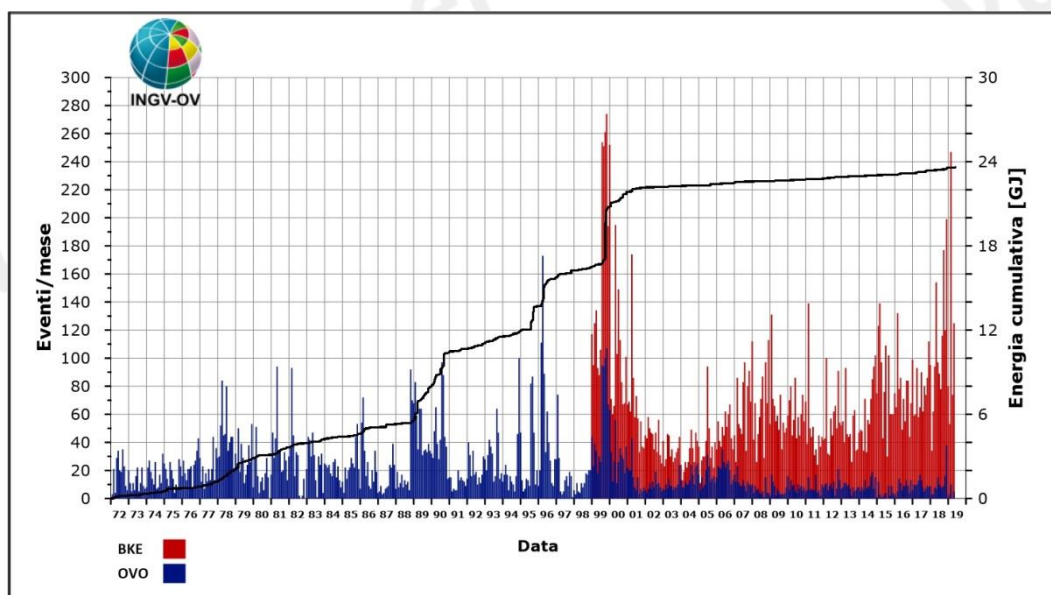


**Figura 1.7** – Localizzazione e meccanismo focale dell'evento del 18/05 alle 21:11 UTC.

**Tabella 1.1** – Parametri ipocentrali dei terremoti di magnitudo  $\geq 2.0$  registrati al Vesuvio nel mese di maggio 2019.

Data UTC	Md	Lat N	Long E	Prof. (km)
2019/05/18 21:11:18.30	2.5	40.8262	14.4473	4.42

In figura 1.8 è rappresentata la frequenza di accadimento dei terremoti registrati al Vesuvio dal 1972 e la relativa energia cumulativa.



**Figura 1.8** – Frequenza di accadimento dei terremoti registrati dal 1972 alla Stazione OVO (in blu) e dal 1999 alla stazione BKE (in rosso). La linea nera rappresenta l'energia cumulativa.

Da questa figura si può osservare come l'incremento del numero di eventi registrato negli ultimi anni sia legato essenzialmente ad una sismicità di bassa energia confinata nell'area craterica rilevabile solo in alcune occasioni alla stazione OVO (Sede Osservatorio Vesuviano).

**Tabella 1.2** – Riepilogo mensile della sismicità registrata al Vesuvio suddivisa per classi di magnitudo e relative percentuali.

Numero totale terremoti: 125		$M_{dmax}=2.5$
Numero terremoti con <b><math>M_d &lt; 0.0</math></b>	50	(40.00%)
Numero terremoti con <b><math>0.0 \leq M_d &lt; 1.0</math></b>	62	(49.60%)
Numero terremoti con <b><math>1.0 \leq M_d &lt; 1.5</math></b>	10	(8.00%)
Numero terremoti con <b><math>1.5 \leq M_d &lt; 2.0</math></b>	1	(0.80%)
Numero terremoti con <b><math>M_d \geq 2.0</math></b>	1	(0.80%)
Numero terremoti con <b><math>M_d</math> N.D.</b>	1	(0.80%)

## 2. DEFORMAZIONI DEL SUOLO

### 2.1 GPS

In Figura 2.1.1 è mostrata la Rete GPS Permanente operativa al Vesuvio con 8 stazioni ubicate sulla struttura vulcanica.

Non si evidenziano deformazioni del suolo imputabili a fenomeni vulcanici. Le sole stazioni GPS ubicate nella parte alta dell'edificio vulcanico mostrano una significativa subsidenza e spostamenti orizzontali coerenti con una fase di contrazione del Gran Cono (Figura 2.1.2), verosimilmente dovuta ad effetti gravitativi e processi di compattazione e/o scivolamento di terreni poco coerenti ed in forte pendenza.

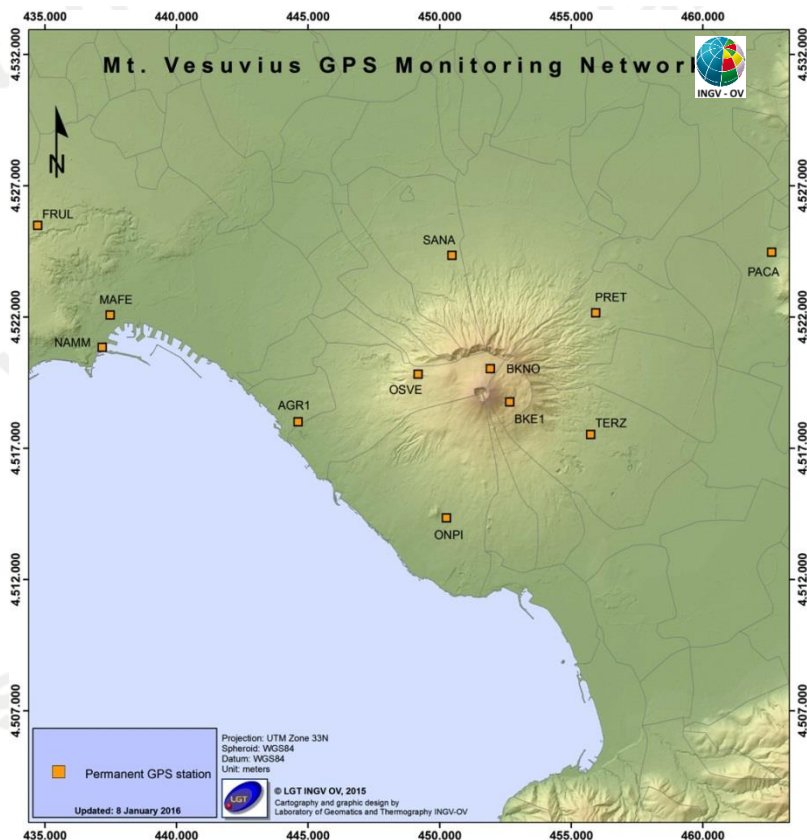


Figura 2.1.1 - Rete GPS Permanente del Vesuvio.

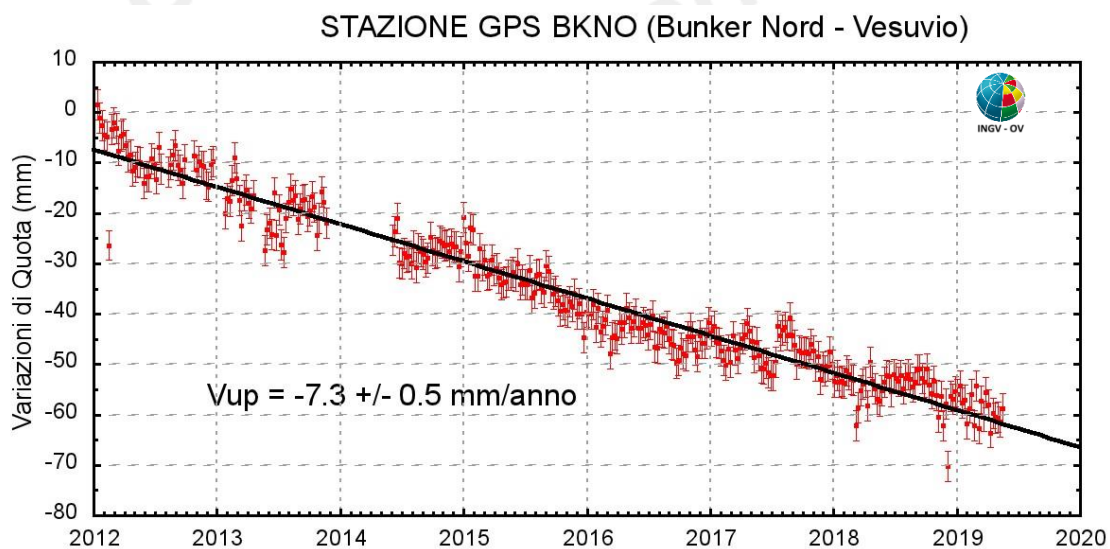
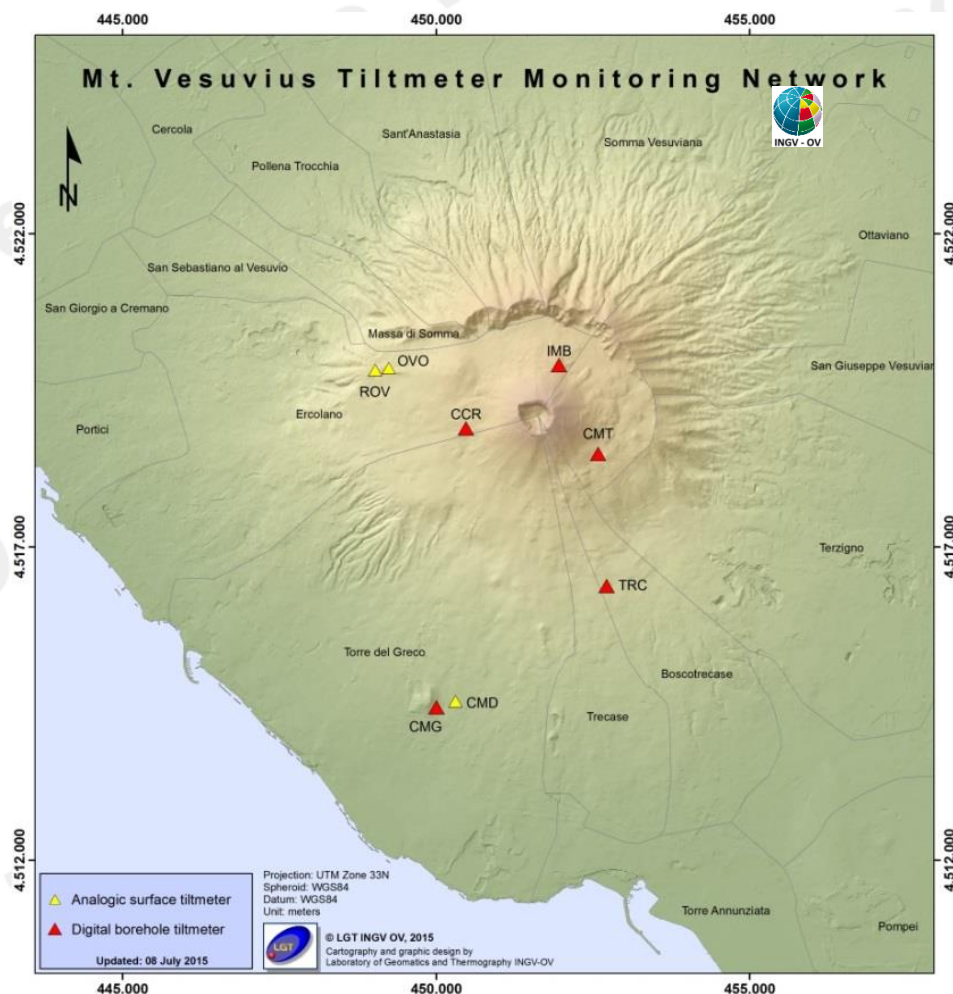


Figura 2.1.2 - Serie temporale delle variazioni settimanali in quota della stazione BKNO (Vesuvio) da gennaio 2012 a maggio 2019.

## 2.2 Tiltmetria

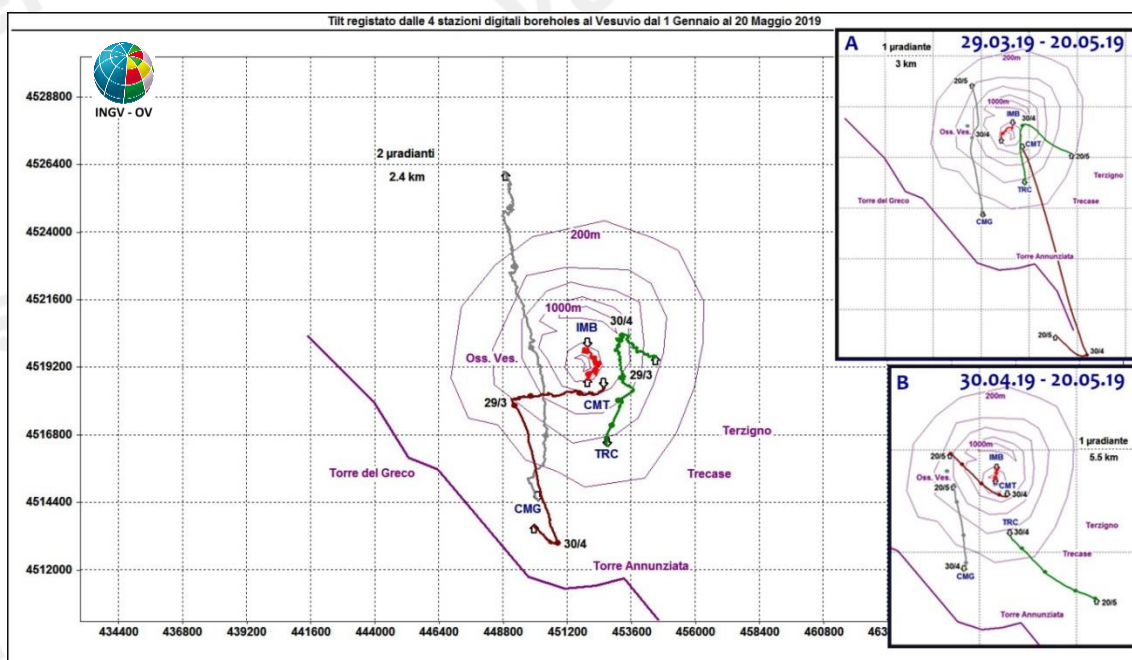
La Rete di Monitoraggio delle inclinazioni del suolo del Vesuvio consiste in 7 stazioni (Fig. 2.2.1) di cui 3 equipaggiate con sensori analogici di superficie (OVO, CMD, ROV) e 4 con sensori digitali da pozzo (IMB, TRC, CMT, CMG installati a 25 m di profondità).



**Figura 2.2.1** – Rete Tiltmetrica del Vesuvio. La stazione CCR è in corso di completamento.

La variazione tiltmetrica osservata al Vesuvio nel periodo 1 gennaio – 20 maggio 2019 avviene con modalità diverse in relazione alla posizione delle stazioni ed è riportata in Figura 2.2.2.

Il *tilting reversal*, osservato alla stazione CMT a partire dal 29 marzo, si conclude il 30 aprile in corrispondenza di un altro *reversal*, che avviene contemporaneamente ad un fenomeno analogo (*tilting reversal*) che interessa la stazione TRC.



**Figura 2.2.2** – Pattern tiltmetrico osservato al Vesuvio. Per comodità di rappresentazione grafica e per una interpretazione più agevole, sono state selezionate in tale figura solo le 4 stazioni “borehole” con sensori ubicati a 25 m di profondità. Il lato di ogni maglia del reticolo equivale a 2 μradianti o 2.4 km. Il riquadro A ripropone l’odografo totale ingrandito solo nel periodo 29/3-20/5, quando le stazioni CMT e TRC abbandonano temporaneamente le loro direzioni preferenziali di tilting. Il riquadro B riguarda invece solo il periodo 30/4-20/5 in cui si verifica il secondo disallineamento tiltmetrico.

La deformazione relativa a ogni sito-stazione è rappresentata con segmenti orientati di colore diverso; l’origine di ogni vettore tilt è siglata con il nome del sito stesso ed evidenziata con una freccia puntata verso il basso mentre l’estremo libero è indicato con una freccia puntata verso l’alto. Il verso di ogni vettore indica settori di crosta in abbassamento ed è univocamente definito dal suo estremo libero.

Nella Tabella seguente sono riportati i valori di inclinazione del suolo, le rispettive direzioni del tilting e la variazione di temperatura registrata a fondo pozzo ( $\approx -25$  m dal p.c.) acquisiti nei primi 4.7 mesi del 2019.

Sito	Inclinazione e direzione	Temperatura
Stazione TRC (372 m s.l.m.)	3.1 μradianti a NE	0.02 °C
Stazione IMB (974 m s.l.m.)	0.9 μradianti a S	0.06 °C
Stazione CMG (117 m s.l.m.)	9.8 μradianti a NNW	-0.06 °C
Stazione CMT (842 m s.l.m.)	4.6 μradianti a SSW	0.25 °C

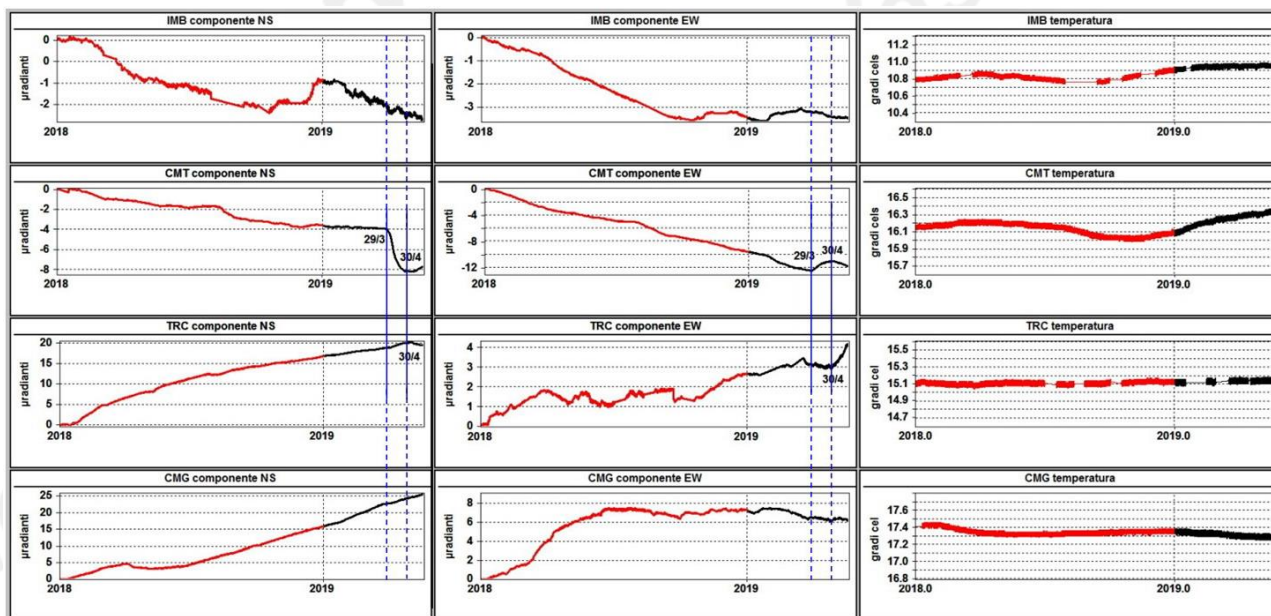
In Figura 2.2.3 sono riassunti gli andamenti temporali delle componenti tiltmetriche (filtrate dalle periodicità giornaliere) e termica registrate da ognuna delle 4 stazioni borehole.

Per evidenziare la continuità dei segnali, il periodo di tempo rappresentato parte dal 1 gennaio 2018; poiché, inoltre, i segnali acquisiti rappresentano la variazione di tilt, sono stati tutti azzerati a partire da tale data.

**Componenti NS del tilt:** le 2 stazioni a quota più bassa (CMG e TRC) mostrano un trend di inclinazione verso N (molto più pronunciato a CMG almeno fino al 29 marzo) e quindi un abbassamento del suolo in tale direzione. Dal 30 aprile la direzione di tilting di TRC ruota da N a S. Delle 2 stazioni a quota più alta IMB si inclina a S verso il cratere mentre CMT mostra un primo *tilting reversal* in direzione S dal 29 marzo mentre un secondo *reversal*, stavolta in direzione N, si verifica il 30 aprile.

**Componenti EW del tilt:** CMG si inclina lentamente ad W con andamento oscillante tra il 29 marzo ed il 20 maggio, TRC si inclina ad E con una prima inversione di direzione dal 19 marzo ed una seconda, più forte, dal 30 aprile.

CMT mostra un *tilting reversal* in direzione E dal 29 marzo ed in direzione opposta dal 30 aprile, IMB si inclina lentamente ad W con andamento oscillante tra il 19 marzo ed il 20 maggio.



**Figura 2.2.3** – Segnali registrati dalle 4 stazioni “borehole” della rete vesuviana ordinati dal basso verso l’alto secondo la latitudine e ad ognuna di esse è riservata una riga, mentre ogni colonna è relativa ad una componente acquisita. Le prime 2 colonne riportano le componenti NS ed EW in  $\mu$ radianti i cui valori di tilt crescenti nel tempo indicano rispettivamente la variazione di inclinazione del suolo a N e ad E, mentre la terza colonna riporta la temperatura in  $^{\circ}$ C registrata da ogni sensore. In rosso sono riportati i segnali relativi al 2018 mentre in nero sono rappresentati quelli registrati nel 2019. Le linee continue verticali sovrapposte (in blu) identificano il reversal tiltmetrico visibile chiaramente a TRC e CMT. Il prolungamento tratteggiato delle stesse sui segnali di CMG e IMB indicano parimenti delle anomalie in azimuth anche se meno evidenti.

Le 3 direzioni prevalenti di tilting risultano: NNW, NE nella parte meridionale del Vesuvio ed a quote più basse (rispettivamente CMG e TRC), SW nella porzione settentrionale del vulcano, a quote maggiori ed a SE del Gran Cono (CMT), S sempre nella porzione settentrionale del vulcano, a quote maggiori ed a N del Gran Cono (IMB).

I segnali registrati da TRC e CMT, hanno dunque mostrato 2 variazioni di direzione di tilting, di piccola entità, il 29 marzo ed il 30 aprile, sulle cui cause occorrerà investigare ulteriormente con

studi e modellazioni specifiche.

Il fenomeno di cui sopra, seppure manifestatosi con deformazioni dell'ordine del microradiante, sembra riguardare la porzione sudorientale della base del Gran Cono e si accompagna ad un generale abbassamento del suolo da Camaldoli della Torre (ad E di Torre del Greco) verso N, costantemente seguito dai tiltmetri nella sua evoluzione.

### 2.3 Mareometria

In Figura 2.3.1 è mostrata la Rete Mareografica operativa al Vesuvio.

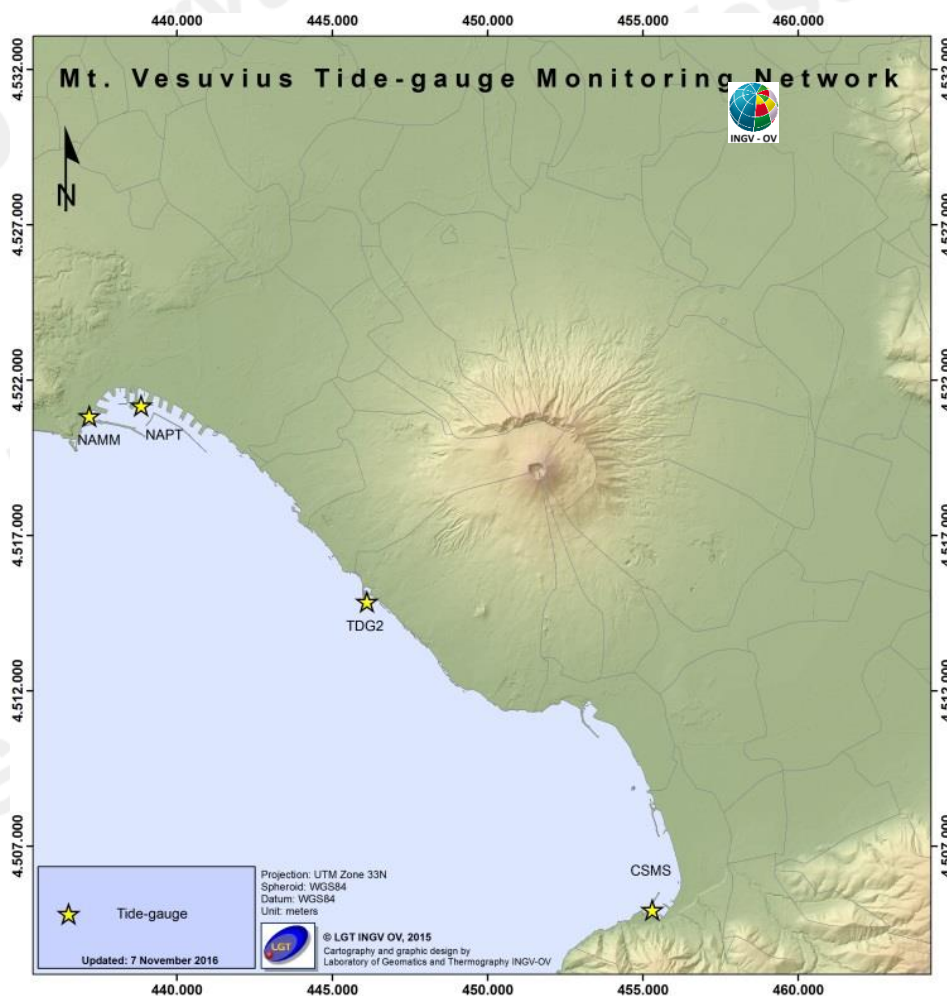
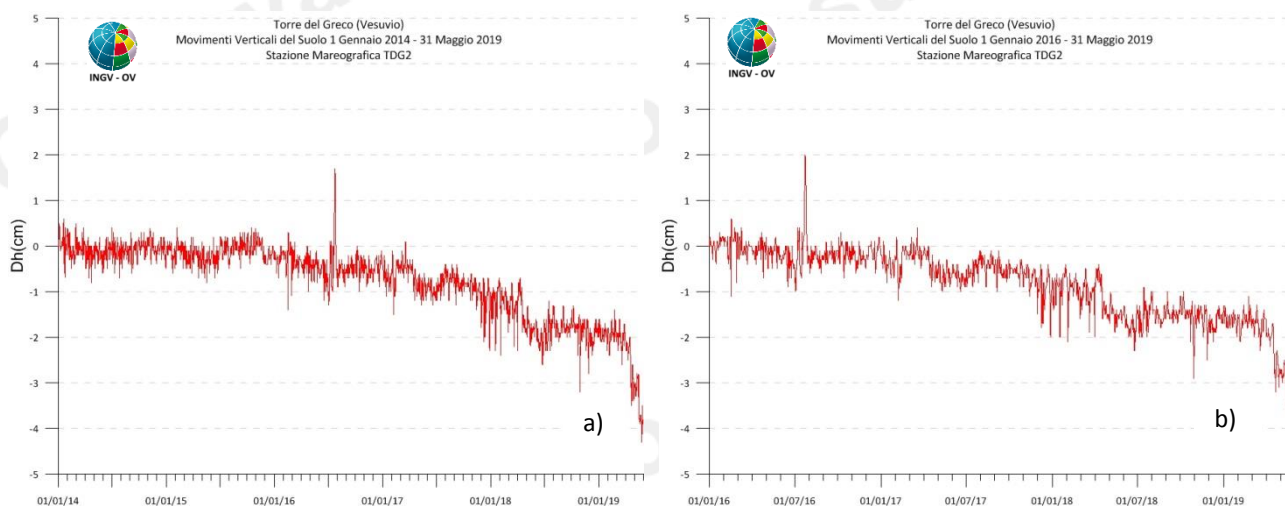


Figura 2.3.1 - Rete Mareografica del Vesuvio

Nell'area vesuviana si osservano nell'ultimo bimestre movimenti verticali del suolo di circa 2 cm in abbassamento, come rilevato dalle analisi dei dati alla stazione di Torre del Greco (TDG2) (Figura 2.3.2), non imputabili a fenomeni vulcanici e sulla cui natura saranno effettuati accertamenti di dettaglio.

Il picco visibile verso la fine del mese di luglio 2016 è stato determinato dal malfunzionamento temporaneo del sensore della stazione di riferimento NAMM.



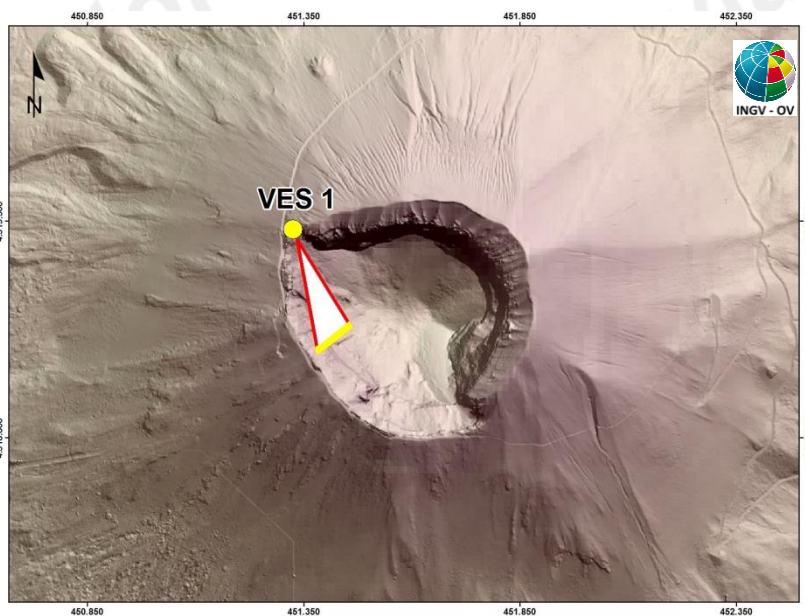
**Figura 2.3.2** - Movimenti verticali del suolo, nel periodo gennaio 2014 - maggio 2019 (a) e gennaio 2016 - maggio 2019 (b), ottenuti dall'analisi dei dati acquisiti dal sensore digitale alla stazione mareografica di Torre del Greco (TDG2). Le variazioni riportate rappresentano le medie giornaliere e sono riferite alla stazione di Napoli Molo S.Vincenzo (NAMM).

I dati nella serie temporale dal 2014 ad oggi sono stati raccordati con i dati riferiti alla ex stazione NAPT (dismessa a febbraio 2016), potendoli considerare omogenei all'interno degli errori di misura.

### 3. MONITORAGGIO TERMICO AD IMMAGINE

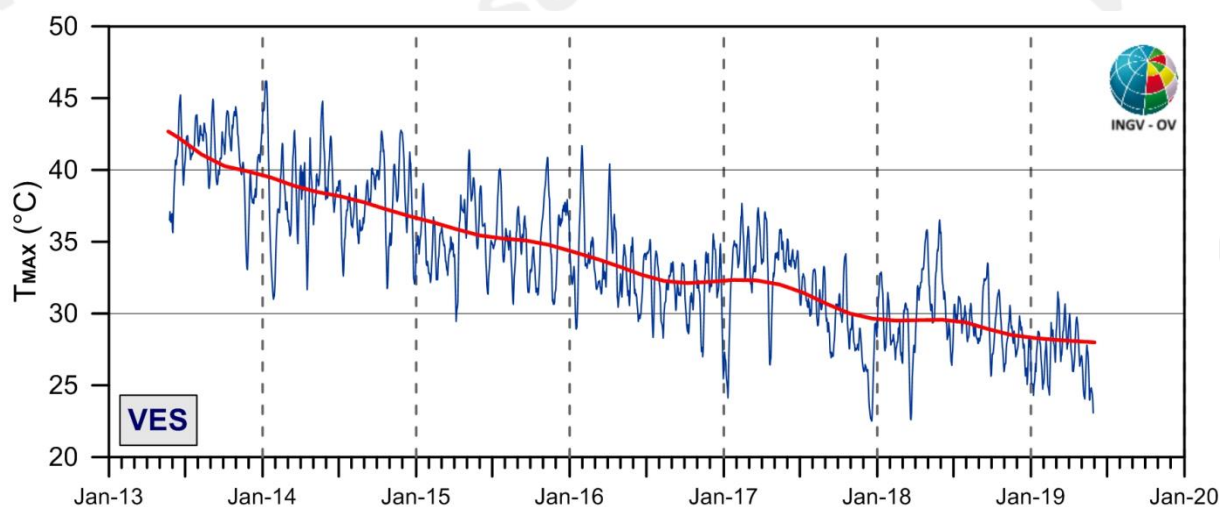
#### 3.1 Rete Permanente Monitoraggio Termico ad Immagine

La stazione della Rete Permanente di Monitoraggio Termico (TIRNet) VES1 acquisisce immagini all'infrarosso del versante interno sud occidentale del cratere del Vesuvio (Fig. 3.1.1; Sansivero et al., 2013).



**Figura 3.1.1** - Mappa della Rete Permanente di Monitoraggio Termico ad immagine (TIRNet) operante al Vesuvio. Punto giallo: posizione della stazione; base del triangolo: area campionata.

La figura 3.1.2 mostra l'elaborazione della serie temporale dei valori di temperatura massima delle immagini IR processati con l'algoritmo di destagionalizzazione analitica STL (Seasonal-Trend Decomposition).



**Figura 3.1.2** - Stazione Vesuvio VES1. Serie temporali delle medie settimanali (blu) e del trend a lungo termine (rosso) dei valori di temperatura massima rilevati nell'immagine IR destagionalizzata mediante applicazione dell'algoritmo di filtraggio analitico STL.

Nel breve termine (linea blu in Fig. 3.1.2), l'analisi della serie temporale dei valori di temperatura massima, seppur in presenza di oscillazioni di varia ampiezza e periodo, evidenzia un costante decremento del campo di temperatura superficiale dell'area target fino a dicembre 2017. Dopo tale data e fino a tutto maggio 2019, il trend della temperatura massima mostra un'alternanza di periodi durante i quali si osservano sensibili diminuzioni cui seguono periodi con andamento stabile o in lieve incremento.

Il trend a lungo termine (linea rossa) dei valori di temperatura massima rilevati nella serie di immagini IR acquisite dalla stazione del Vesuvio mostra negli ultimi mesi un andamento sostanzialmente stazionario con tendenza in leggero decremento.

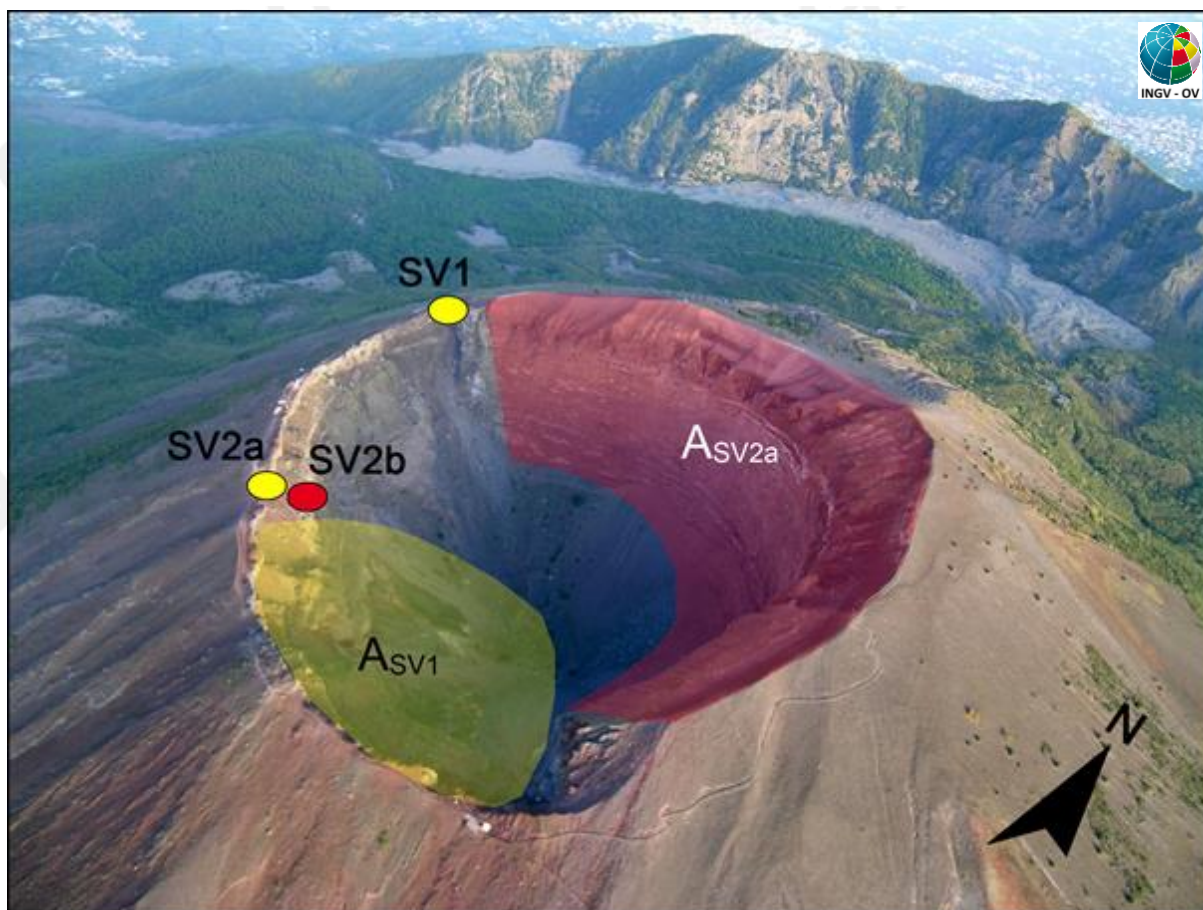
### **3.2 Monitoraggio Termico con Termocamera Mobile e Termocoppia**

La sorveglianza vulcanologica tramite Telecamere Termiche Mobili (TTM) e termocoppie rigide ha come principale obiettivo l'individuazione di eventuali variazioni nel tempo dei valori di temperatura misurati al suolo in punti discreti e/o di aree a temperatura maggiore in modo da evidenziare eventuali modifiche nella distribuzione areale del campo fumarolico.

I rilievi sono eseguiti mensilmente in condizioni di non irraggiamento solare (essenzialmente di notte), utilizzando una termocamera portatile FLIR SC640 ad alta risoluzione (640 x 480 pixel) e sensibilità ( $<0.06^{\circ}\text{C} + 30^{\circ}\text{C}$ ). La termocoppia utilizzata è di tipo K, con errore strumentale di circa  $0.1^{\circ}\text{C}$  nell'intervallo  $-200 \div 1260^{\circ}\text{C}$ . Le misure ottenute con la termocamera sono confrontate, quando possibile, con quelle eseguite con termocoppia rigida.

#### **Ubicazione dei punti di misura al Vesuvio**

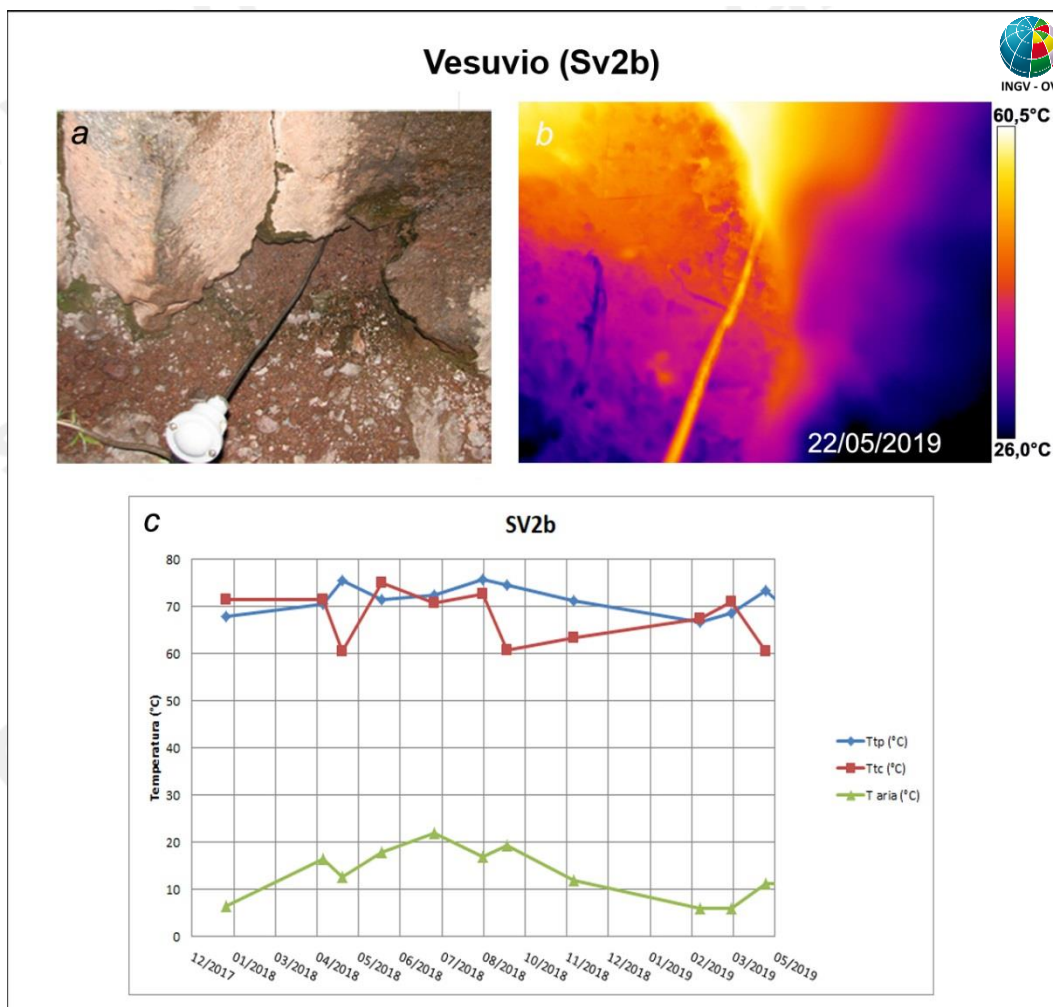
I rilievi vengono eseguiti solamente con telecamera termica dai punti stazione SV1 e SV2a, e con l'ausilio di termocoppia rigida al punto stazione SV2b (Fig. 3.2.1).



**Figura 3.2.1** – Cratere del Vesuvio. In giallo sono riportati i punti stazione dai quali vengono effettuati i rilievi termici con telecamera termica, in rosso quello nel quale vengono effettuati anche rilievi con termocoppia rigida. L'area in rosso (ASV2a) è quella ripresa dal punto stazione SV2a, mentre l'area in giallo (ASV1) è ripresa dal punto stazione SV1.

In generale, la comparazione delle fotocomposizioni delle immagini termiche rilevate nel mese di maggio 2019 dal punto stazione SV1 e SV2 (Fig. 3.2.1) con quelle dei mesi precedenti non evidenzia significative modifiche nella distribuzione areale del campo fumarolico.

I valori di temperatura rilevati nel mese di maggio 2019 con telecamera termica e termocoppia rigida al punto stazione SV2b (Fig. 3.2.1) sono stabili, nell'ultimo anno come nei precedenti, a meno di variazioni stagionali (Fig. 3.2.2).



**Figura 3.2.2** – Immagini nel visibile (a) e termica (b) riprese al punto SV2b di figura 3.2.1, di una fumarola ubicata sul settore occidentale del cratere del Vesuvio. Valori massimi di temperatura con termocamera (Ttc) e valori di temperatura dalla termocoppia (Ttp), confrontati con la temperatura dell'aria misurata nel momento del rilievo termico, da gennaio 2018 a maggio 2019 (c).

#### 4. GEOCHIMICA DEI FLUIDI

L'attività di monitoraggio svolta nel mese di maggio 2019 ha riguardato:

- l'acquisizione in continuo di dati di flusso di CO<sub>2</sub> dal suolo, della temperatura della fumarola principale e del gradiente di temperatura del suolo tramite la stazione multiparametrica FLXOV6 installata in area bordo cratere (settor SW, Fig. 4.1);
- il campionamento delle fumarole di bordo cratere (Fig. 4.1);
- l'esecuzione di misure di flusso di CO<sub>2</sub> dal suolo e temperatura del suolo su punti fissi selezionati in area di Bordo Cratere.

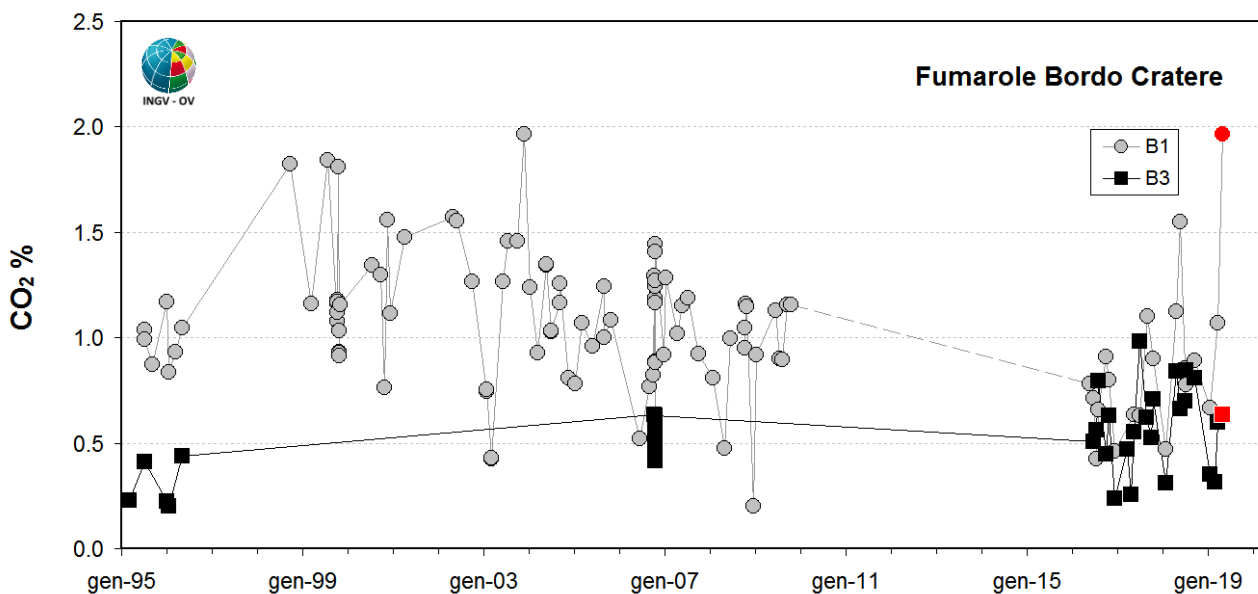


**Figura 4.1** - Ubicazione delle stazioni multiparametriche FLXOV6 e FLXOV7, e dei siti oggetto delle attività di sorveglianza geochimica in area craterica. In particolare, sono riportate le principali fumarole di bordo cratere (B1-B3) e di fondo cratere (FC2), sono inoltre riportati i punti fissi per la misura del flusso di CO<sub>2</sub> dal suolo e della temperatura del suolo, in area bordo cratere (simboli bianchi) e in area di fondo cratere (simboli gialli).

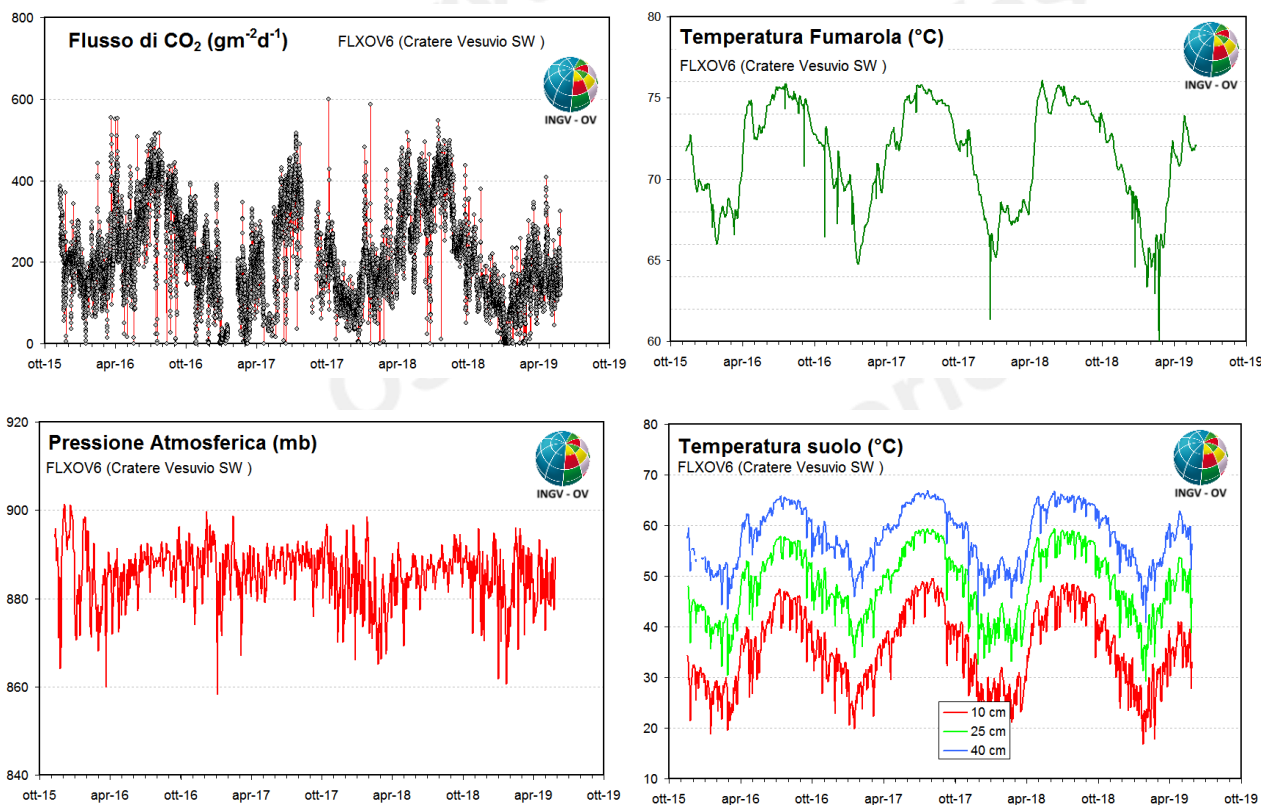
La composizione delle fumarole di bordo cratere, costituita essenzialmente da una miscela di aria e del componente idrotermale profondo (Caliro et al., 2011), nei campioni di maggio 2019 (fumarole B1 e B3) non ha mostrato variazioni significative rispetto ai periodi precedenti (Fig. 4.2).

La stazione multiparametrica, installata in area bordo cratere (FLXOV06, settore SW), misura: il flusso di CO<sub>2</sub> dal suolo (ogni due ore), gradiente di temperatura nel suolo, temperatura della maggiore emissione fumarolica dell'area, pressione atmosferica e temperatura dell'aria (ogni 10 minuti). I parametri misurati nel periodo di interesse, non hanno mostrato variazioni significative (Fig. 4.3). Le lievi variazioni osservate sono, comunque, da mettersi in relazione a variazioni stagionali e a particolari eventi meteorologici (pioggia, vento forte, bassa pressione, temperatura atmosferica etc.). La stazione è collegata alla rete wi-fi e i parametri acquisiti sono trasmessi in tempo reale alla Sala di Monitoraggio.

Persistono i problemi di trasmissione della stazione di fondo cratere FLXOV7, è previsto un nuovo intervento per riportare la stazione in laboratorio e ripristinarne il funzionamento.



**Figura 4.2** - Cronogramma della concentrazione di CO<sub>2</sub> delle fumarole di bordo cratere B1 (area anemometro) e B3 (settore SW). I campioni del mese di maggio 2019 sono riportati con il simbolo rosso.



**Figura 4.3** - Parametri misurati dalla stazione geochimica (FLXOV6) installata in area bordo cratere del Vesuvio (settore SW). I valori, eccetto il flusso di CO<sub>2</sub> dal suolo, sono riportati come medie giornaliere.

## 5. QUADRO DI SINTESI DELLO STATO DEL VULCANO NEL MESE DI MAGGIO 2019 E VALUTAZIONI

---

- 1) **SISMOLOGIA:** Al Vesuvio permane una sismicità di fondo con 125 terremoti registrati nel mese di maggio 2019 ( $M_{dmax}=2.5$ ), localizzati prevalentemente in area craterica con profondità nei primi tre chilometri tranne l'evento di magnitudo massima che è stato localizzato a 4.42 km di profondità.
- 2) **DEFORMAZIONI:** Dai dati GPS, Marografici e Tiltmetrici non si osservano deformazioni riconducibili a sorgenti vulcaniche.
- 3) **TERMOGRAFIA:** I dati delle telecamere termiche permanenti e mobili evidenziano nel mese di maggio 2019 un andamento sostanzialmente stazionario della temperatura massima.
- 4) **GEOCHIMICA:** Le analisi geochimiche non evidenziano variazioni significative alle fumarole presenti sul bordo del cratere.

Sulla base dell'attuale quadro dell'attività vulcanica sopra delineato, non si evidenziano elementi tali da suggerire significative evoluzioni a breve termine.

**N.B. Eventuali variazioni dei parametri monitorati possono comportare una diversa evoluzione degli scenari di pericolosità sopra descritti.**

### **Bibliografia**

- Caliro S., Chiodini G., Avino R., Minopoli C., and Bocchino B. (2011) Long time-series of chemical and isotopic compositions of Vesuvius fumaroles: evidence for deep and shallow processes. *Annals Geophysics* **54**, 137-149. doi: 10.4401/ag-5034.
- Chiodini G., Marini L., and Russo M. (2001) Geochemical evidence for the existence of high-temperature hydrothermal brines at Vesuvio volcano, Italy. *Geochim. Cosmochim. Acta* **65**, 2129-2147.
- Sansivero F., Scarpato G. and G. Vilardo (2013). The automated infrared thermal imaging system for the continuous long-term monitoring of the surface temperature of the Vesuvius crater. *Annals of Geophysics*, 56, 4, S0454; doi:10.4401/ag-6460.

---

### **Responsabilità e proprietà dei dati**

*L'INGV, in ottemperanza a quanto disposto dall'Art.2 del D.L. 381/1999, svolge funzioni di sorveglianza sismica e vulcanica del territorio nazionale, provvedendo alla organizzazione della rete sismica nazionale integrata e al coordinamento delle reti sismiche regionali e locali in regime di convenzione con il Dipartimento della Protezione Civile.*

*L'INGV concorre, nei limiti delle proprie competenze inerenti la valutazione della Pericolosità sismica e vulcanica nel territorio nazionale e secondo le modalità concordate dall'Accordo di programma decennale stipulato tra lo stesso INGV e il DPC in data 2 febbraio 2012 (Prot. INGV 2052 del 27/2/2012), alle attività previste nell'ambito del Sistema Nazionale di Protezione Civile. In particolare, questo documento, redatto in conformità all'Allegato A del suddetto Accordo Quadro, ha la finalità di informare il Dipartimento della Protezione Civile circa le osservazioni e i dati acquisiti dalle reti di monitoraggio gestite dall'INGV su fenomeni naturali di interesse per lo stesso Dipartimento.*

*L'INGV fornisce informazioni scientifiche utilizzando le migliori conoscenze scientifiche disponibili; tuttavia, in conseguenza della complessità dei fenomeni naturali in oggetto, nulla può essere imputato all'INGV circa l'eventuale incompletezza ed incertezza dei dati riportati e circa accadimenti futuri che differiscano da eventuali affermazioni a carattere previsionale presenti in questo documento. Tali affermazioni, infatti, sono per loro natura affette da intrinseca incertezza.*

*L'INGV non è responsabile dell'utilizzo, anche parziale, dei contenuti di questo documento da parte di terzi, e/o delle decisioni assunte dal Dipartimento della Protezione Civile, dagli organi di consulenza dello stesso Dipartimento, da altri Centri di Competenza, dai membri del Sistema Nazionale di Protezione Civile o da altre autorità preposte alla tutela del territorio e della popolazione, sulla base delle informazioni contenute in questo documento. L'INGV non è altresì responsabile di eventuali danni recati a terzi derivanti dalle stesse decisioni.*

*La proprietà dei dati contenuti in questo documento è dell'INGV. La diffusione anche parziale dei contenuti è consentita solo per fini di protezione civile ed in conformità a quanto specificatamente previsto dall'Accordo Quadro sopra citato tra INGV e Dipartimento della Protezione Civile.*